

Список литературы

- [1] Цытович В.Н. // ЖЭТФ. 1987. Т. 93. В. 5. С. 1680-1695.
- [2] T s y t o v i c h V.N. // Phys. Reports. 1989. V. 178. N 5-6. P. 261-387.
- [3] Попель С.И., Цытович В.Н. Препринт 219, Москва, ФИАН, 1988.
- [4] T s y t o v i c h V.N., R o p e l S.I. // Com-ments Plasma Phys. Controlled Fusion. 1989. V. 12. No 4. P. 171-179.
- [5] Иванов А.А., Рудаков Л.И. // ЖЭТФ. 1966. Т. 51. В. 5. С. 1522-1534.

Физический институт
им. П.Н. Лебедева АН СССР,
Москва

Поступило в Редакцию
14 февраля 1990 г.

Письма в ЖТФ, том 16, вып. 16

26 августа 1990 г.

01; 05

© 1990

КИНЕТИКА УСТАНОВЛЕНИЯ РАВНОВЕСИЯ В СИСТЕМАХ С КВАЗИНПРЕРЫВНЫМ ЭНЕРГЕТИЧЕСКИМ СПЕКТРОМ

С.Н. Тараскин, М.И. Клингер

В данной работе анализируются некоторые процессы термической релаксации в системах с квазинпрерывным энергетическим спектром. Прежде всего имеется в виду релаксация электронной или неосновной атомной подсистемы в неупорядоченных твердых телах. Общее рассмотрение конкретизируется на примере анализа релаксации водородной подсистемы в аморфном кремнии с водородом ($a\text{-Si:H}$). Для этого вещества экспериментально установлено, что закалка до температуры ниже определенной (т.е. быстрое охлаждение от T_0 до T) сопровождается затянутыми релаксационными процессами с макроскопическими характерными временами, которые связываются с дисперсионным диффузионным движением атомов водорода [1]. При этом дисперсия является следствием разброса глубин потенциальных ям для водорода, как правило, экспоненциального вида с характерным энергетическим масштабом спада ω_c .

Ниже предлагается теоретическая модель релаксации водородной подсистемы при закалке $a\text{-Si:H}$, основанная на представлении о квазинпрерывном распределении энергий атомов водорода в основной сетке $a\text{-Si:H}$. На основе решений уравнений баланса полу-

Энергетическая плотность состояний атомов водорода в $\alpha\text{-Si:H}$ (модель).

Чены законы спада, имеющие дисперсионный характер и характеризуемые дисперсионным параметром, существенно зависящим от температуры отжига.

Согласно 1, в $\alpha\text{-Si:H}$ будем различать связанный ($E < E_c$) и несвязанный ($E > E_c$) водород (см. рисунок). При этом под несвязанными состояниями водорода понимаются состояния в межузельном пространстве, через которые неизбежно происходят переходы атомов водорода из одного связанного состояния в другое. Под связанными состояниями понимаются как состояния в центрах связей $\text{Si}-\text{Si}$ (по аналогии с кристаллом [2]) с плотностью $g(\varepsilon)$ (при $\varepsilon = E_c - E > 0$), так и состояния моногидридов Si-H с плотностью $\tilde{g}(\varepsilon)$ (см. рисунок).

Термические переходы атомов H между связанными состояниями через несвязанные обеспечивают установление термического равновесия в водородной подсистеме и описываются стандартными уравнениями баланса:

$$\frac{d}{dt} \left\{ n(t) + \int_0^\infty f(\varepsilon, t) [g(\varepsilon) + \tilde{g}(\varepsilon)] d\varepsilon \right\} = 0, \quad (1)$$

$$\frac{d}{dt} f(\varepsilon, t) = \frac{\omega_0}{N_t} n(t) (1 - f(\varepsilon, t)) - \omega_0 e^{-\frac{\varepsilon}{kT}} f(\varepsilon, t). \quad (2)$$

Здесь $n(t)$ — концентрация водорода в несвязанных состояниях, $f(\varepsilon, t)$ — функция распределения атомов водорода по связанным состояниям, N_t — концентрация незанятых связанных состояний;

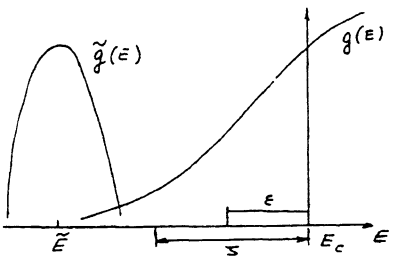
$$N_t \approx \int_0^\infty [g(\varepsilon) + \tilde{g}(\varepsilon)] (1 - f(\varepsilon)) d\varepsilon, \quad \omega_0 \text{ — характерная атомная час-}$$

тота. Уравнение (1) отвечает закону сохранения числа атомов водорода, а уравнение (2) описывает переходы между связанными и несвязанными состояниями. Начальное условие вида

$$f(\varepsilon, t=0) = \left(1 + \exp \left(- \frac{\varepsilon - \xi(T_0)}{T_0} \right) \right)^{-1} \quad (3)$$

при $T_0 > T$ соответствует задаче о закалке $\alpha\text{-Si:H}$. В формуле (3) $\xi(T_0)$ задает положение уровня Ферми водородной подсистемы относительно E_c , $\xi(T_0) < E_0 - \tilde{E}$ [1].

Будем ниже для простоты считать, что $\tilde{g}(\varepsilon) \approx N \delta(\varepsilon - E_c + \tilde{E})$. Тогда возможны две ситуации в зависимости от величины концентрации.



Рассмотрим сначала случай, когда $g(\zeta)\omega \gg \tilde{N}$, и моногидридные состояния не определяют положение уровня Ферми $\xi(T) \approx \xi(T_0)$ (ω – масштаб спада $g(\varepsilon)$, $g(\varepsilon) \sim \exp(-\varepsilon/\omega)$). В этом случае термализация водородной подсистемы происходит за время t_0 ,

$$t_0 \sim \omega_0^{-1} \exp(\xi/T), \quad (4)$$

а наиболее значительный спад $n(t)$ при $t \ll t_0$ осуществляется по закону

$$n(t) = n(T_0) \frac{T}{T_0} \cdot \frac{\delta E_1}{\delta E_2} \cdot (\omega_0 t)^{\beta-1}, \quad \beta = T/T_0, \quad (5)$$

$$\delta E_1 = \left(\frac{1}{T_0} - \frac{1}{\omega} \right)^{-1} + \left(\frac{1}{T} + \frac{1}{\omega} - \frac{1}{T_0} \right)^{-1}, \quad \delta E_2 = \left(\frac{1}{T} - \frac{1}{\omega} \right)^{-1} + \omega. \quad (6)$$

При таких временах концентрация оборванных связей $N_D(t) = (1-f)\tilde{N}$ незначительно спадает по затянутому экспоненциальному закону:

$$N_D(t) = N_D(T_0) \exp[-(t/r)^\beta], \quad (7)$$

$$\tau = \omega_0^{-1} \left(\frac{\delta E_2}{\delta E_1} \right)^{1/\beta} \exp(\xi/T), \quad (8)$$

в котором дисперсионный параметр $\beta = T/T_0$ не зависит от масштаба спада плотности состояний ω в отличие от $\beta = T/\omega$ из работы [1].

Иная ситуация, когда $\tilde{N} \gg g(\zeta)\omega$, положение уровня Ферми определяется моногидридным водородом, а $\xi(T)$ существенно зависит от температуры. В этом случае существует три масштаба времен в законе спада $n(t)$. При $t \ll t_1$, где

$$t_1 \sim \omega_0^{-1} \exp \left\{ \left[\xi(T_0) - \omega \ln \frac{N_D(T_0)}{g(\xi(T_0))\omega} \right] / T \right\}, \quad (9)$$

релаксация аналогична рассмотренному выше случаю. В интервале $t_1 \ll t \ll t_2$, где

$$t_2 \sim \omega_0^{-1} \exp \{ \xi(T_0)/T \}, \quad (10)$$

спад $n(t)$ описывается формулой вида:

$$n(t) \approx n(T_0) \frac{N_D}{N_D(T_0)} \cdot \frac{(\omega - \omega_0) T \delta E_1}{\omega^2 T_0} (\omega_0 t)^{-1+\beta}, \quad (11)$$

$$\beta = T/T_0 - T/\omega. \quad (12)$$

Заметим, что и в этом режиме дисперсионный параметр (12) слабо зависит от ω при актуальных $\omega \gg T_0$ ($\beta \approx T/T_0$). Поведение $N_D(t)$ при этом определяется законом (7) с β вида (12) и γ , удовлетворяющему соотношению

$$\gamma = \omega_0^{-1} \left(\frac{N_D(T_0)}{g(\zeta(T_0))\omega} \right)^{T_0\omega/T(\omega-T_0)} \exp\left(\frac{\zeta(T_0)}{T}\right). \quad (13)$$

Наиболее существенный спад $N_D(t)$ происходит в интервале $t_2 \ll t \ll t_0$, где t_0 удовлетворяет (4) при $\zeta = \zeta(\tau) > \zeta(T_0)$ по закону вида

$$\Delta N_D(t) = N_D(t) - N_D(T) \sim N_t (\omega_0 t)^{-\beta} \quad (14)$$

$$\beta = T/\omega. \quad (15)$$

В этом интервале времен атомы водорода переходят из состояний с энергией ϵ из интервала $\zeta(T_0) < \epsilon < \zeta(T)$ на оборванные связи, и дисперсионный параметр теперь обычным образом зависит от ω [1]. Концентрация несвязанного водорода при этом спадает по закону, близкому к гиперболическому:

$$n(t) \sim n(t_2) \frac{t_2}{t} \frac{T}{\omega}, \quad n(t_2) = N_t \exp(-\zeta(T_0)/T). \quad (16)$$

В работе показано, что концентрация несвязанного водорода в а- $Si : H$ при закалке ($T_0 \rightarrow T$) спадает по дисперсионному закону $\sim t^{-1+\beta}$, где дисперсионный параметр определяется главным образом начальной и конечной температурой ($\beta \approx T/T_0$), а не масштабом спада плотности связанных состояний ω (ср. [1], где $\beta = T/\omega$).

Отметим, что использованная выше аппроксимация $\tilde{g}(\epsilon)$ может быть актуальной при достаточно быстром спаде $\tilde{g}(\epsilon)$ вблизи ζ при не слишком низкой температуре [3]. При этом следует иметь в виду, что эффективный дискретный уровень оборванных связей находится выше по энергии нежели основной пик моногидридов. Что касается зарядового состояния связанного водорода, то в соответствии с ЭПР данными водород в центре $Si - Si$ связи, по-видимому, заряжен положительно и нейтрален в моногидридном положении.

Список литературы

- [1] Street R.A., Winer K. // Phys. Rev. B40, N 9, 6236-6249.
- [2] Van de Walle C.G., Denteneer P.J.H., Bar-Yam Y., Pantelides S.T. // Phys. Rev. 1989. B39. N 15. P. 10791-10808.

[3] Klinger M.I., Kudryavtsev V.G.,
Ryazanov M.I., Taraskin S.N. //
Phys. Rev. 1989. V 40. N 9. P. 6311-6320.

Физико-технический институт
им. А.Ф. Иоффе АН СССР,
Ленинград

Поступило в Редакцию
13 июня 1990 г.

Письма в ЖТФ, том 16, вып. 16

26 августа 1990 г.

07

© 1990

ИЗМЕРЕНИЕ ФАЗЫ ГАУССОВСКИХ ПУЧКОВ
МЕТОДОМ ИНТЕРФЕРЕНЦИИ ВТОРЫХ ГАРМОНИК,
ГЕНЕРИРУЕМЫХ В РАЗЛИЧНЫХ
НЕЛИНЕЙНО-ОПТИЧЕСКИХ КРИСТАЛЛАХ

Б.Я. Зельдович, Ю.Е. Капицкий,
А.Н. Чудинов, В.М. Чуриков

При распространении света фаза вдоль геометро-оптического луча меняется по закону $\varphi = k z$, т.е. $E \sim \exp(ikz - i\omega t)$. Геометрическая оптика отказывает при прохождении луча мимо каустики. За каустикой фаза снова меняется по закону $\varphi = k z + \Delta\varphi$, где $\Delta\varphi = -\frac{\pi}{2}$ - "недобранный" по сравнению с геометрической оптикой сдвиг фазы. Прохождение луча мимо двух каустик или мимо стигматического фокуса вносит сдвиг фазы $-\tilde{\varphi}$ по сравнению с геометрооптическим выражением для фазы вдоль луча.

Это обстоятельство, хорошо известное в классической волновой теории, может быть дополнительно проиллюстрировано выражением для поля гауссовского пучка [1]:

$$E(x, y, z) \approx \left[1 + i(z - z_0)/k\alpha_o^2 \right]^{-1} \exp \left[ikz - \frac{ik(x^2 + y^2)}{1 + i(z - z_0)/k\alpha_o^2} \right]. \quad (1)$$

Здесь сдвиг фазы $-\tilde{\varphi}$ обусловлен предэкспонентой $\Delta\varphi(z) = \arctg[(z - z_0)/k\alpha_o^2]$, где α_o - радиус перетяжки, $k\alpha_o^2$ - ее длина, z_0 - положение центра перетяжки.

В настоящей работе этот сдвиг фазы измерен в эксперименте по интерференции второй гармоники, генерируемой в двух кристаллах. Впервые оптимизация такой схемы исследовалась в работах [2, 3]. Интенсивность второй гармоники на выходе из второго кристалла будет определяться интерференцией вторых гармоник в первом и во втором кристаллах, которая зависит от разницы фаз $\Delta\varphi$: